Kaltbrunn: Verkehrsunfall zwischen Auto und Mofa

Am Mittwoch (08.11.2023), kurz vor 13 Uhr, ist es auf der Grossfeldstrasse zu einem Verkehrsunfall zwischen einem Auto und einem Mofa gekommen. Ein 14-jähriger Mofafahrer wurde leicht verletzt. Es entstand Sachschaden.

Ein 30-jähriger Mann fuhr mit seinem Auto und Anhänger auf der Grossfeldstrasse von Schänis Richtung Kaltbrunn. Er beabsichtigte, bei der Verzweigung Grossfeldstrasse / Benknerstrasse rechts in die Benknerstrasse einzubiegen. Dabei übersah er den 14-Jährigen, der mit seinem Mofa auf dem Radstreifen der Benknerstrasse Richtung Benken fuhr. Dadurch kam es zur Kollision zwischen dem Auto und dem Mofa, wodurch der 14-Jährige leicht verletzt wurde. Er musste vom Rettungswagen ins Spital gebracht werden. An den Fahrzeugen entstand Sachschaden im Wert von rund 3'000 Franken.

Elektrosmog im Unfallablauf

Der Unfall ereignet sich bei der Anfahrt auf einen Sender

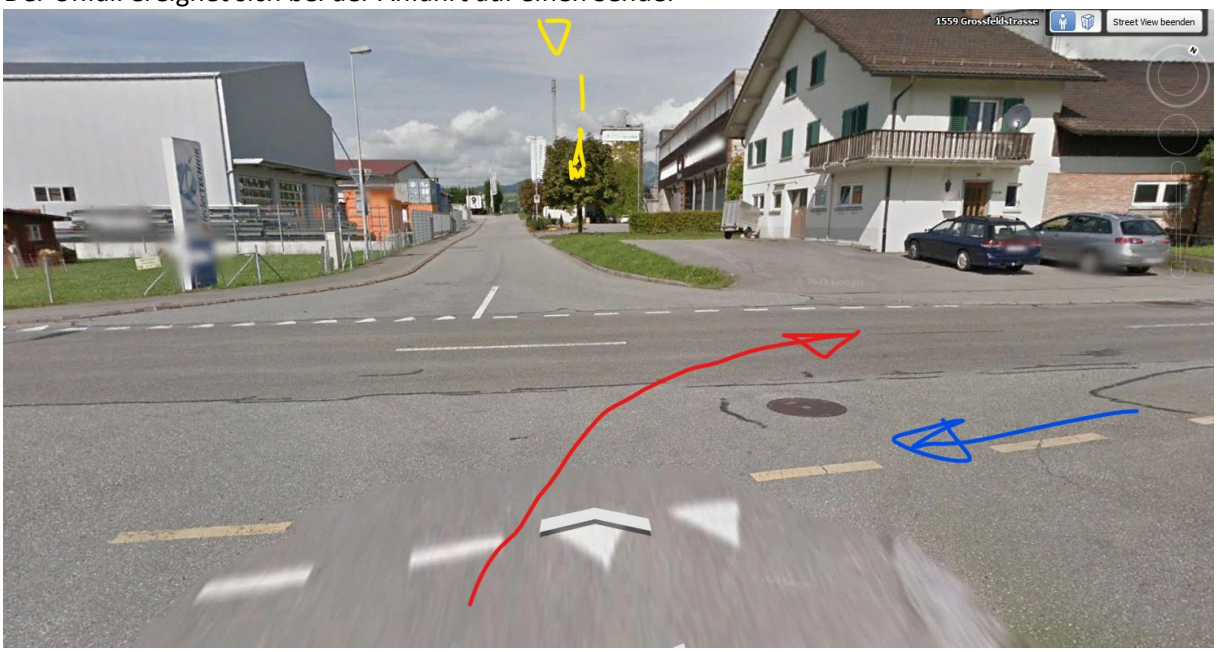

Dahinter steht auch der entfernte Sender Stockmatt, im Hochspannungsmast

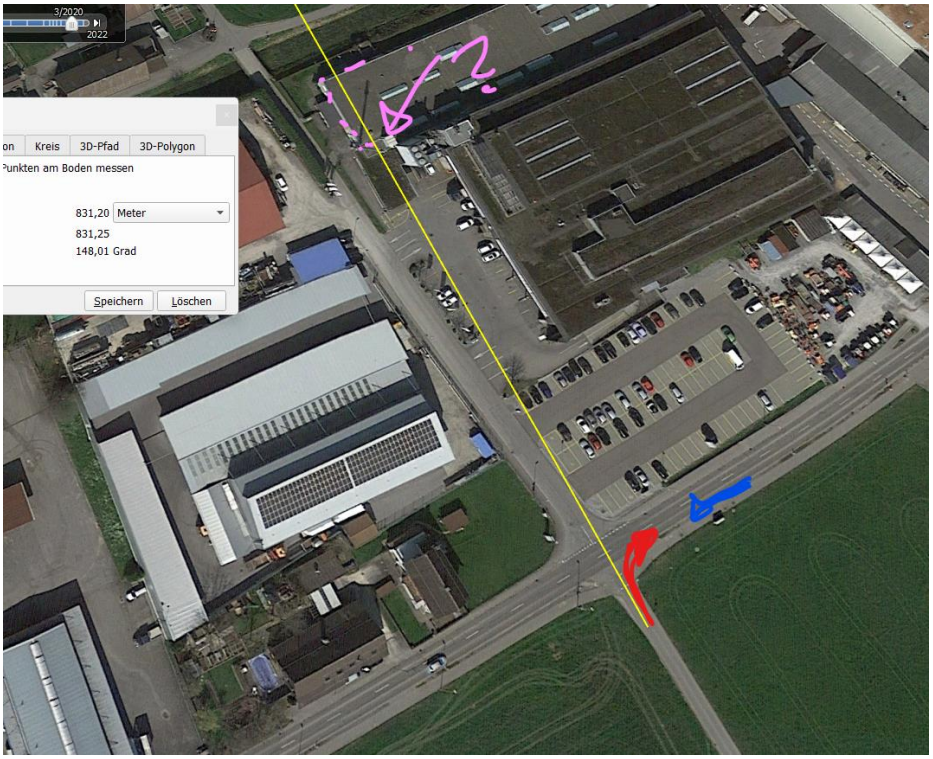

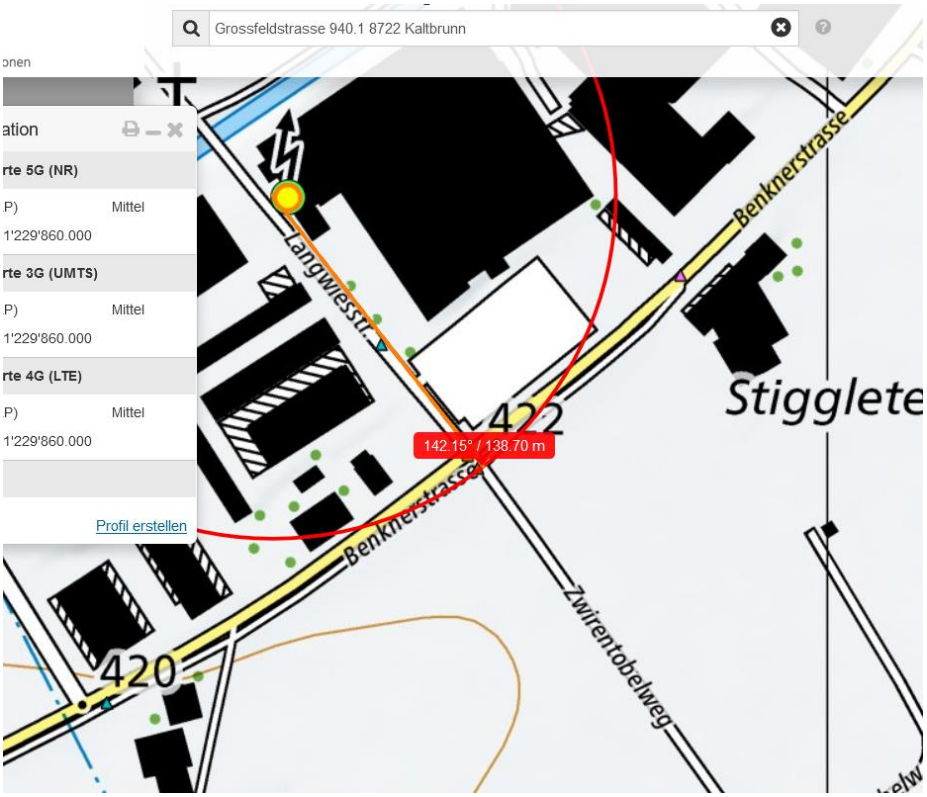

Sender 2 vom Hochspannungsmast, um / über 25 m Höhe

Ob er an dieser Stelle einstrahlt, muss an Ort geklärt werden

Gegen eine weitere Leistungssteigerung dieses Salt-Standorts im Hochspannungsmast sind Einsprachen eingegangen, darum hier das Standortdatenblatt:

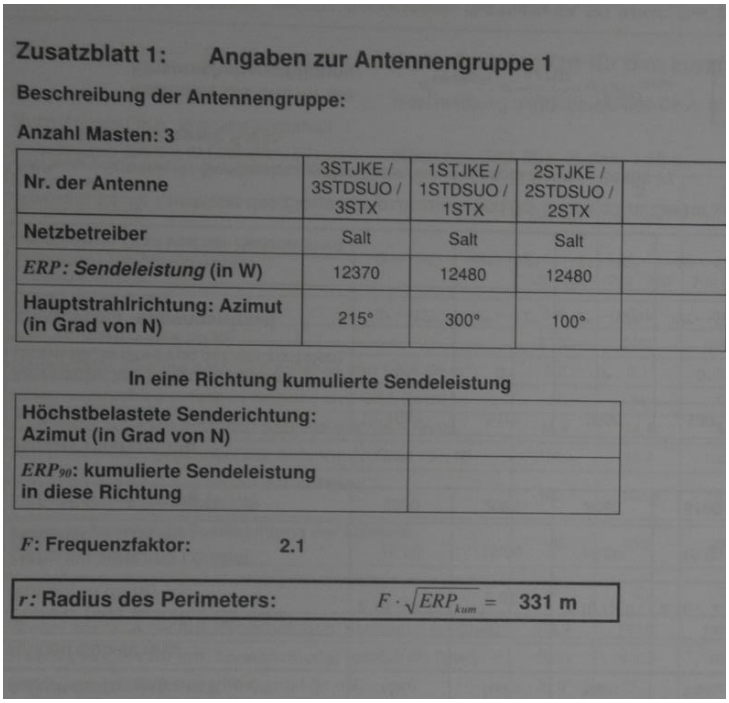

Zusatzblatt 1: Angaben zur Antennengruppe 1

Beschreibung der Antennengruppe:

Anzahl Masten: 3

Nr. der Antenne	3STJKE / 3STDSUO / 3STX	1STJKE / 1STDSUO / 1STX	2STJKE / 2STDSUO / 2STX	
Netzbetreiber	Salt	Salt	Salt	
ERP: Sendeleistung (in W)	12370	12480	12480	
Hauptstrahlrichtung: Azimut (in Grad von N)	215°	300°	100°	

In eine Richtung kumulierte Sendeleistung

Höchstbelastete Senderichtung: Azimut (in Grad von N)	
ERP_{90}: kumulierte Sendeleistung in diese Richtung	

F: Frequenzfaktor: 2.1

r: Radius des Perimeters: $F \cdot \sqrt{ERP_{kum}} =$ 331 m

in die Unfallrichtung 12.480 W erp

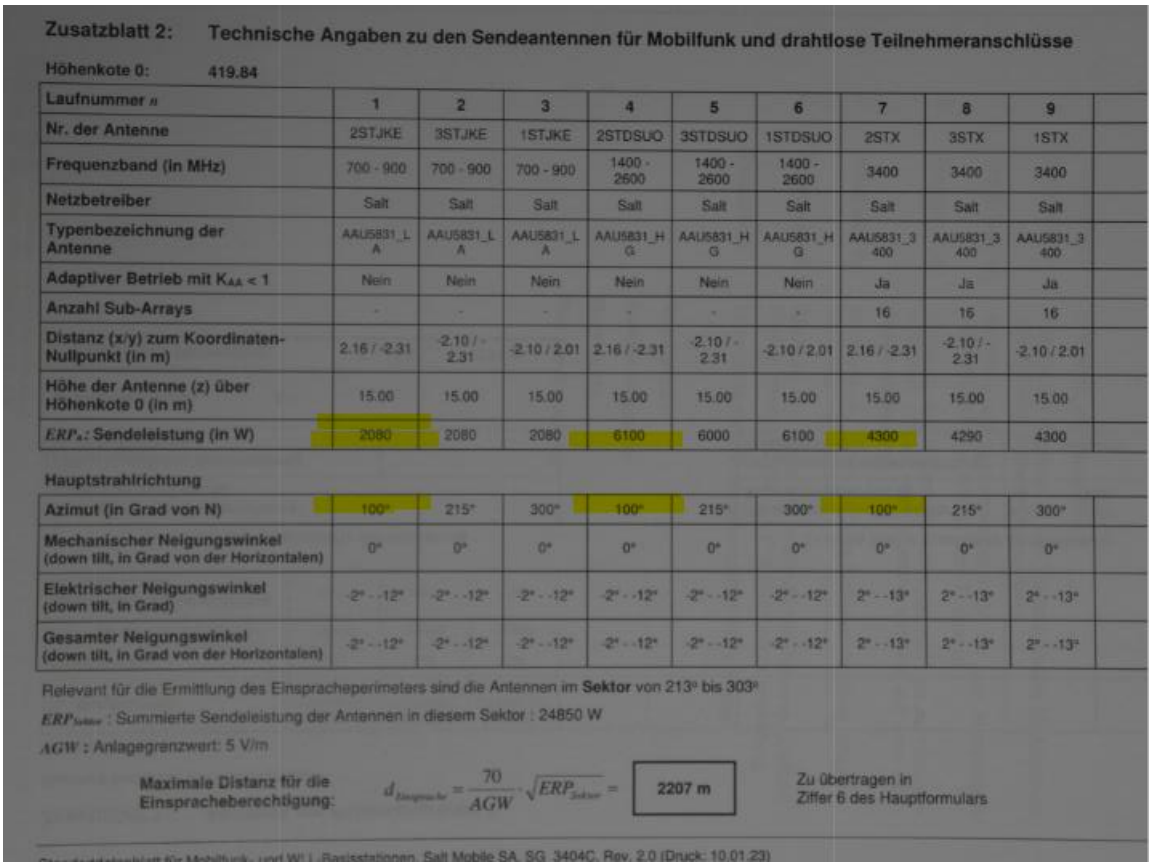

Zusatzblatt 2: Technische Angaben zu den Sendeantennen für Mobilfunk und drahtlose Teilnehmeranschlüsse

Höhenkote 0: 419.84

Laufnummer *n*	1	2	3	4	5	6	7	8	9
Nr. der Antenne	2STJKE	3STJKE	1STJKE	2STDSUO	3STDSUO	1STDSUO	2STX	3STX	1STX
Frequenzband (in MHz)	700 - 900	700 - 900	700 - 900	1400 - 2600	1400 - 2600	1400 - 2600	3400	3400	3400
Netzbetreiber	Salt	Salt	Salt	Salt	Salt	Salt	Salt	Salt	Salt
Typenbezeichnung der Antenne	AAU5831_L A	AAU5831_L A	AAU5831_L A	AAU5831_H G	AAU5831_H G	AAU5831_H G	AAU5831_3 400	AAU5831_3 400	AAU5831_3 400
Adaptiver Betrieb mit $K_{AA} < 1$	Nein	Nein	Nein	Nein	Nein	Nein	Ja	Ja	Ja
Anzahl Sub-Arrays	-	-	-	-	-	-	16	16	16
Distanz (x/y) zum Koordinaten-Nullpunkt (in m)	2.16 / -2.31	-2.10 / -2.31	-2.10 / 2.01	2.16 / -2.31	-2.10 / -2.31	-2.10 / 2.01	2.16 / -2.31	-2.10 / -2.31	-2.10 / 2.01
Höhe der Antenne (z) über Höhenkote 0 (in m)	15.00	15.00	15.00	15.00	15.00	15.00	15.00	15.00	15.00
ERP_n: Sendeleistung (in W)	2080	2080	2080	6100	6000	6100	4300	4290	4300
Hauptstrahlrichtung									
Azimut (in Grad von N)	100°	215°	300°	100°	215°	300°	100°	215°	300°
Mechanischer Neigungswinkel (down tilt, in Grad von der Horizontalen)	0°	0°	0°	0°	0°	0°	0°	0°	0°
Elektrischer Neigungswinkel (down tilt, in Grad)	-2° - -12°	-2° - -12°	-2° - -12°	-2° - -12°	-2° - -12°	-2° - -12°	2° - -13°	2° - -13°	2° - -13°
Gesamter Neigungswinkel (down tilt, in Grad von der Horizontalen)	-2° - -12°	-2° - -12°	-2° - -12°	-2° - -12°	-2° - -12°	-2° - -12°	2° - -13°	2° - -13°	2° - -13°

Relevant für die Ermittlung des Einsprachepérimeters sind die Antennen im **Sektor** von 213° bis 303°

ERP_{Sektor} : Summierte Sendeleistung der Antennen in diesem Sektor : 24850 W

AGW : Anlagegrenzwert: 5 V/m

Maximale Distanz für die Einspracheberechtigung: $d_{Einsprache} = \frac{70}{AGW} \cdot \sqrt{ERP_{Sektor}} =$ **2207 m**

Zu übertragen in Ziffer 6 des Hauptformulars

Salt Mobile SA, SG 3404C, Rev. 2.0 (Druck: 10.01.23)

Wetter trocken – Strahlung ungedämpft.

Zum Verständnis der Abläufe bei solchen Unfällen:

Niels Kuster et al. **NFP 57:** http://www.snf.ch/SiteCollectionDocuments/nfp/nfp57/nfp57_synthese_d.pdf
Mobilfunk bewirkt Veränderungen der Hirnströme

M. Mevisssen / D. Schürmann: Manmade Electromagnetic Fields and Oxidative Stress—Biological Effects and Consequences for Health. https://www.mdpi.com/1422-0067/22/7/3772

«Der unklare Unfall in der Verkehrsmedizin» (AGU-Seminar 2015) Dr. Ulfert Grimm Fachbereich Verkehrsmedizin Institut für Rechtsmedizin St.Gallen http://agu.ch/1.0/pdf/agu-seminar15.pdf

«Wirkungen des Mobil- und Kommunikationsfunks» Eine Schriftenreihe der Kompetenzinitiative zum Schutz von Mensch, Umwelt und Demokratie e.V.

https://www.diagnose-funk.org/publikationen/dokumente-downloads/kompetenzinitiative-broschuerenreihe

Wirkungen von Elektrosmog auf Verkehrsunfälle: https://www.hansuelistettler.ch/elektrosmog/elektrosmog-im-verkehr/studie

Keine Messung von Sendeleistungen 5G: https://www.gigaherz.ch/5g-alarmierende-resultate-erster-testmessungen/

Funktionsweise von 5G-Antennen: "Understanding Massive MIMO in roughly 2 minutes": https://www.youtube.com/watch?v=XBb481RNqGw

5G-Adaptiv reagiert auf Kollektiv-Verkehrsmittel: https://www.youtube.com/watch?v=pTKa_cEGvJA
Bellinzona: https://www.youtube.com/watch?v=ekCtC7vJ7Ew

Zum Thema Herzrhythmus hat Prof. Magda Havas, Trent University, publiziert:
https://magdahavas.com/electrosmog-exposure/home-environment/new-study-radiation-from-cordless-phone-base-station-affects-the-heart/ Zusammenfassung im emf-portal: https://www.emf-portal.org/de/article/18905

Magnetfelder unter Hochspannungsleitungen: https://www.bfs.de/SharedDocs/Videos/BfS/DE/emf-stromleitung.html

Hansueli Stettler.Bauökologie.Funkmesstechnik.Lindenstrasse 132.9016 St.Gallen.www.hansuelistettler.ch.info@hansuelistettler.ch